

# Analyse technique de l'initialisation et de la propagation de fissures

*en simulation de la fissuration par champ de phase*

F. Loiseau 

*IMSIA, CNRS, EDF,  
ENSTA, IP Paris*

E. Zembra

*PMC, Ecole Polytechnique,  
CNRS, IP Paris*

H. Henry

*PMC, Ecole Polytechnique,  
CNRS, IP Paris*

V. Lazarus 

*IMSIA, CNRS, EDF,  
ENSTA, IP Paris*

27 Août 2025 au Congrès Français de Mécanique 2025

# Approche variationnelle de la rupture

Francfort & Marigo (1998) et Bourdin et al. (2000)

## Problème de minimisation

Le déplacement  $\mathbf{u}$  et la fissure  $\Gamma$  du corps élastique  $\Omega$  sont régis par

$$(\mathbf{u}, \Gamma) = \arg \min_{\mathbf{u}', \Gamma'} \mathcal{E}(\mathbf{u}', \Gamma'),$$

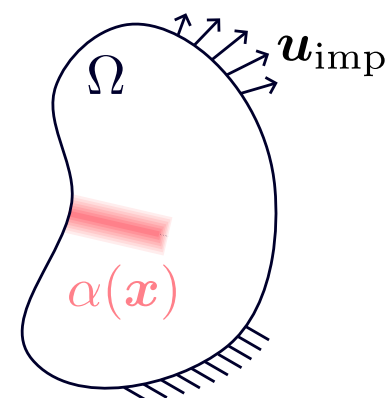
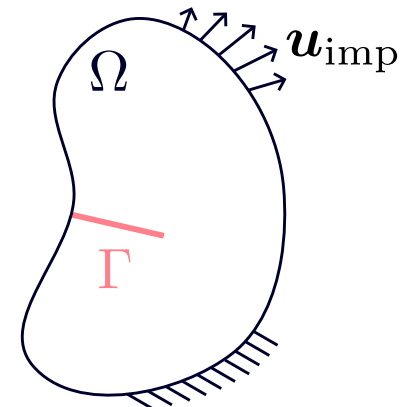
$$\mathcal{E}(\mathbf{u}, \Gamma) = \begin{array}{ll} \mathcal{P}(\mathbf{u}, \Gamma) & + G_c \mathcal{H}(\Gamma), \\ \text{Énergie potentielle} & \text{Dissipation} \end{array}$$

où  $\mathcal{H}(\Gamma)$  est la mesure de la surface fissuré.

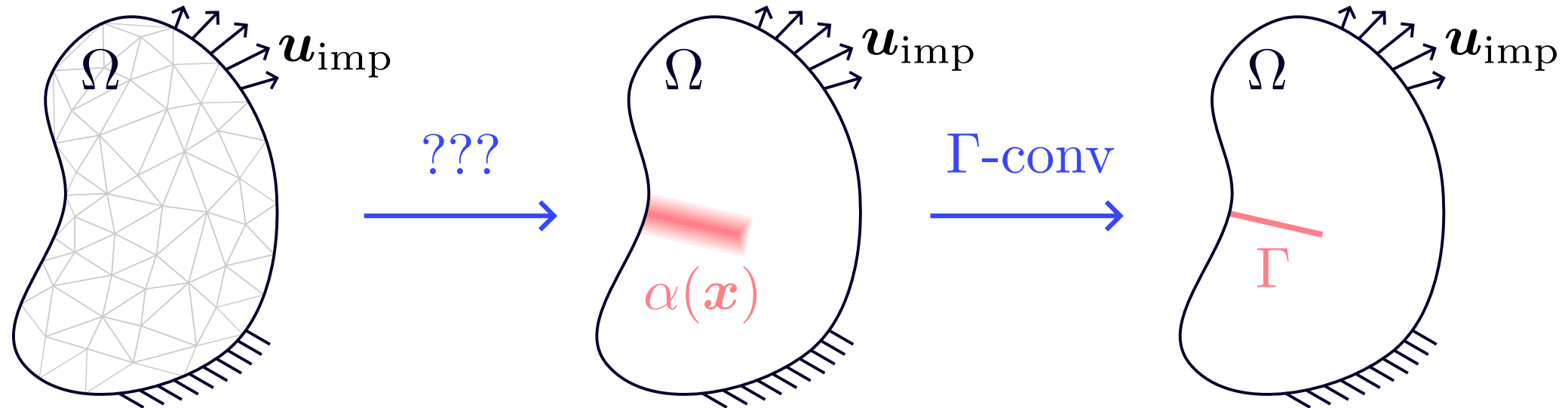
## Régularisation de la fissure

La fissure est représentée par un champ diffus  $\alpha(\mathbf{x})$  tel que,

$$\mathcal{H}_\ell(\alpha) = \frac{1}{c_w} \int_\Omega \frac{w(\alpha)}{\ell} + \ell \|\nabla \alpha\|^2 \, dx \xrightarrow{\ell \rightarrow 0} \mathcal{H}(\Gamma).$$



# Discrétisation du problème



La discrétisation apporte une source d'erreur qui n'est pas seulement influencée par la taille du maillage.

## Objectif

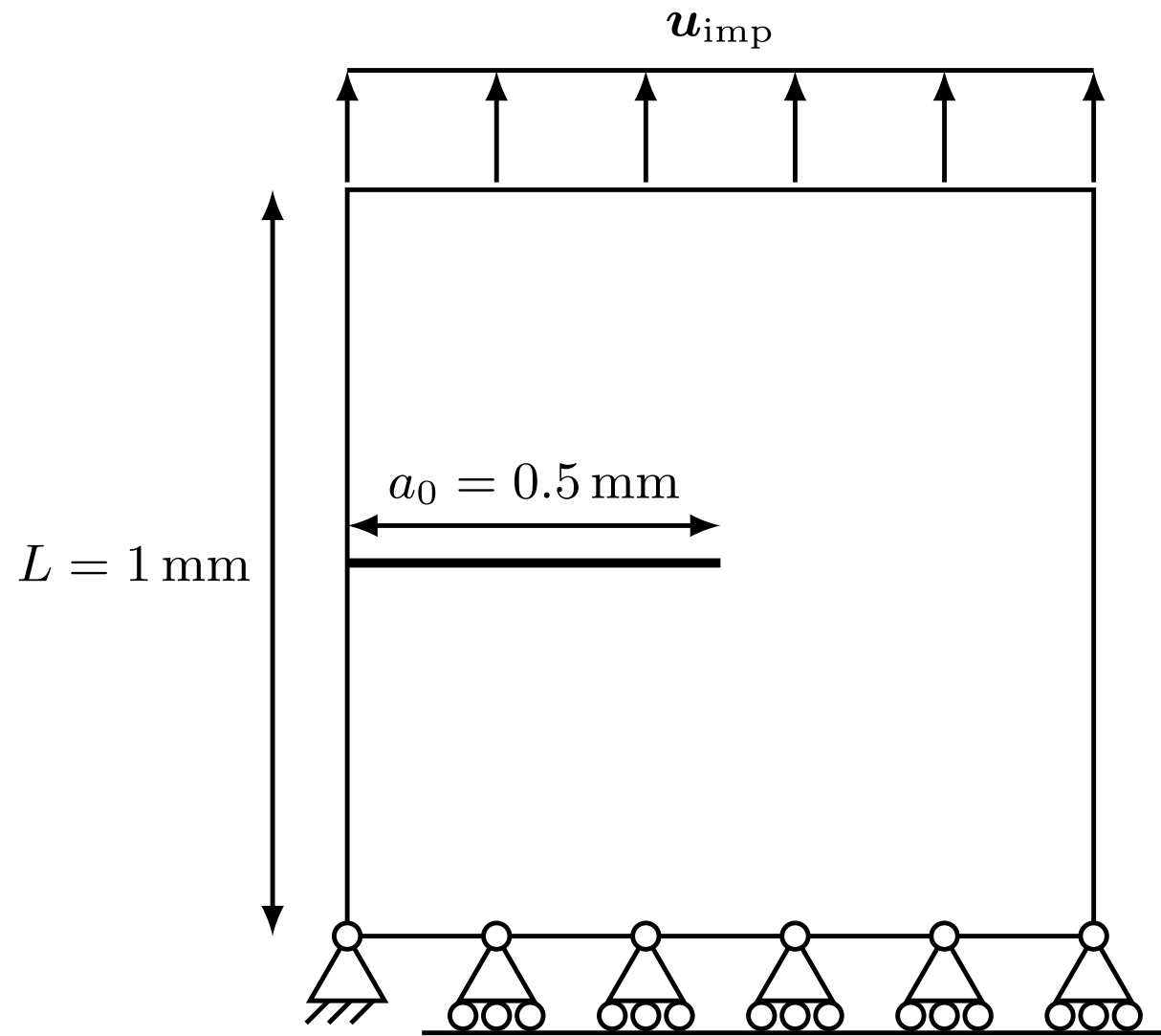
Étudier l'influence de la discrétisation via

1. le seuil de propagation → influence de l'initialisation de la fissure,
2. la trajectoire de la fissure → influence du maillage.

# Comment initialiser une fissure pour prédire correctement le seuil de propagation ?

Publication associée : Loiseau & Lazarus (2025) in JTCAM.

# Problème de référence



Simulations éléments finis

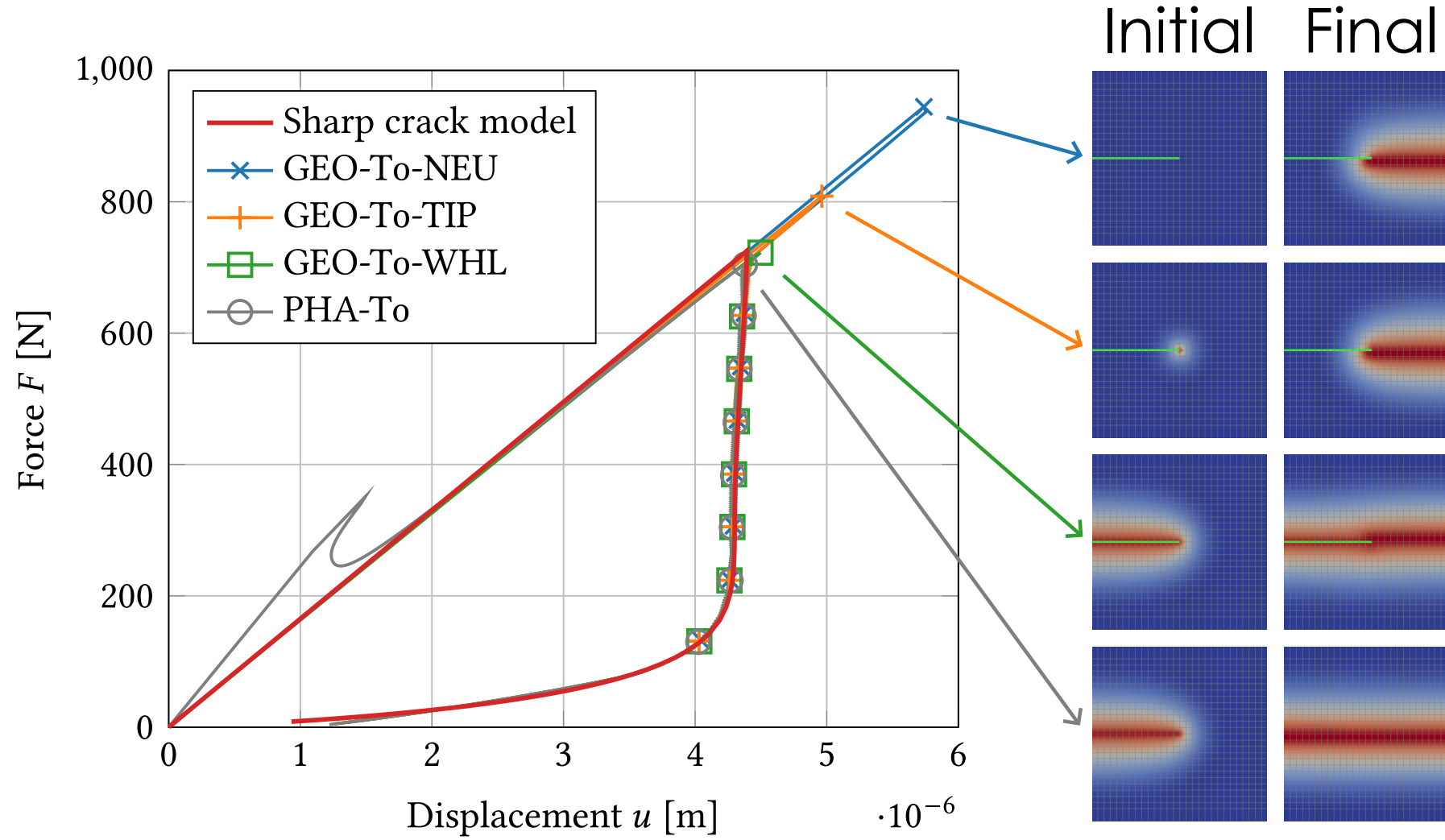
1. Champ de phase avec 8 initialisation de fissures
  - Maillages structurés en quad
  - Surface de fissure libre d'effort
2. Propagation de fissure incrémental (MERR)



Remarque

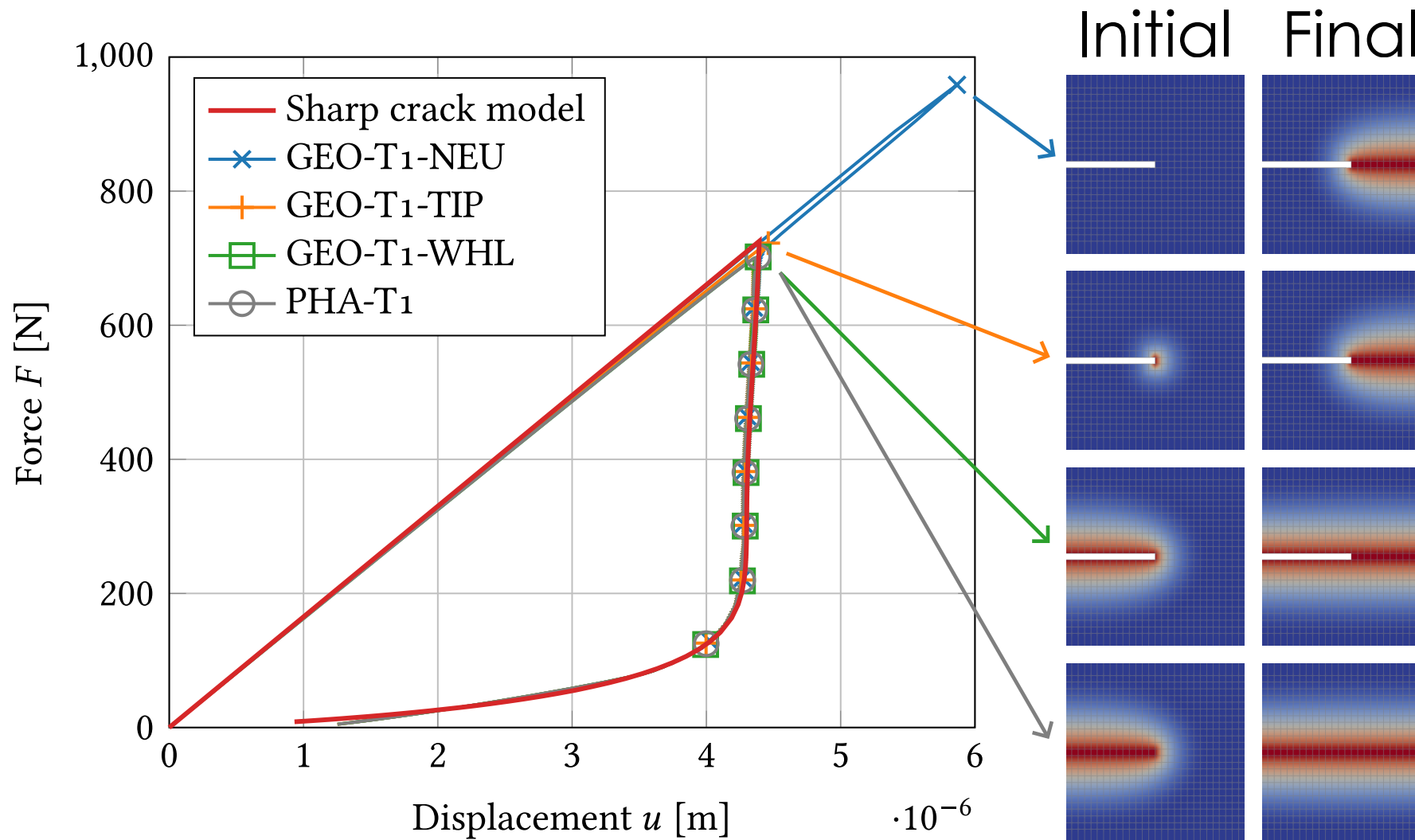
Suivi chemin d'équilibre via *path-following/arc-length*.

# Fissure infiniment fine



Surpic artificiel  $\implies$  Surestimation seuil de propagation + Propagation instable

# Fissure avec un élément d'épaisseur



Le surpic est éliminé si le champ de phase  $\alpha$  est égal à 1 sur la fissure.

# Conclusion : Fissures initiales

## Recommendations

1. Vérifier que l'initialisation de la fissure est correcte si il y a:

- une surestimation du seuil de propagation,
- une propagation instable inattendue.

2. Initialiser les fissures via une bande d'un élément ayant  $\alpha = 1$  (en retirant ou non les éléments du maillage).

## Pour aller plus loin

- Conclusions valables pour des discrétisations continues des champs.
- Maillage non-structuré OK → Loiseau & Lazarus (2025).
- Que se passe-t-il en mode mixte ? Avec  $G_c$  anisotrope ?



# Quel est l'impact du maillage sur la trajectoire de la fissure ?

En collaboration avec Edgar Zembra et Hervé Henry

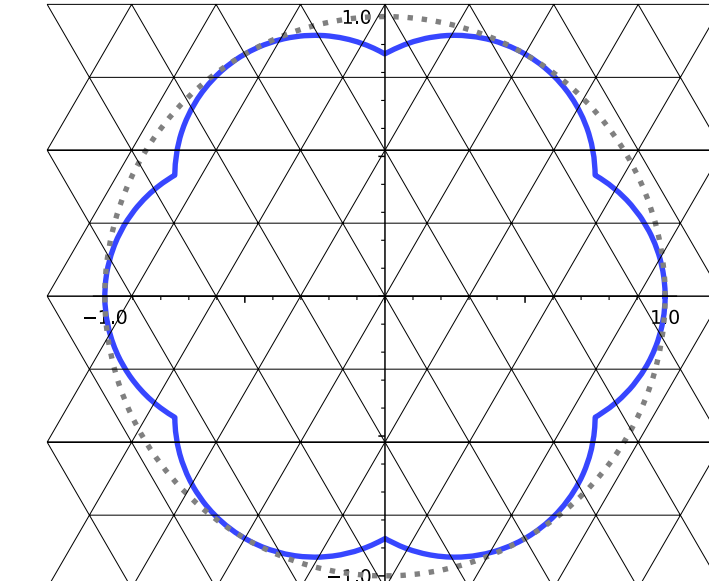
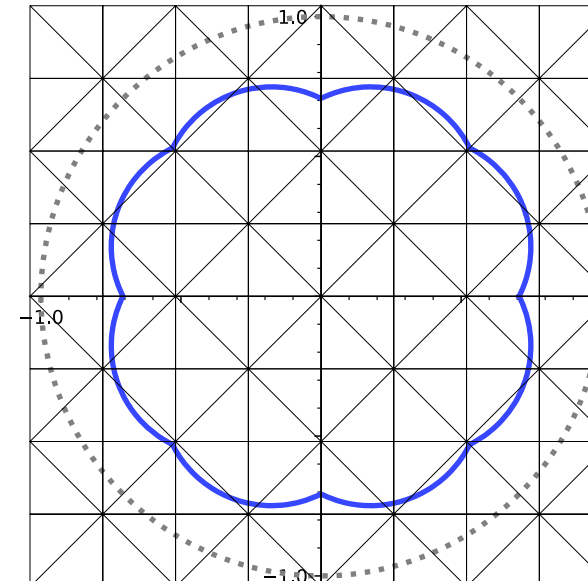
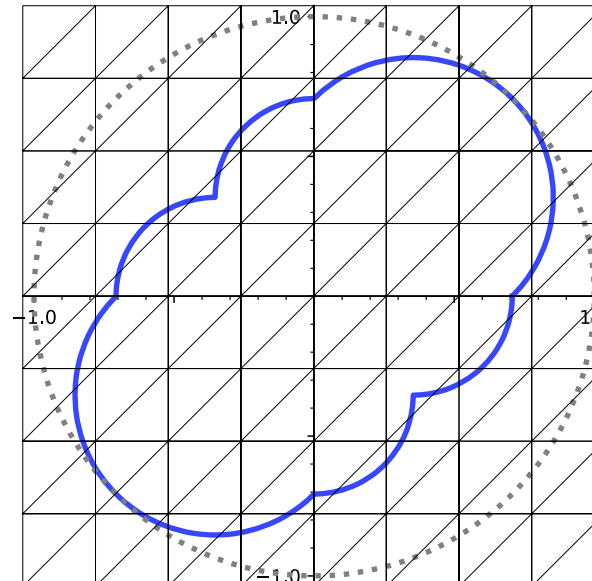
# Anisotropie induite par le maillage

Dans le cas théorique où  $\alpha \in H^1(\mathbb{R}^d)$ , la  $\Gamma$ -convergence ([Braides, 1998; Giacomini, 2005](#))

$$G_c \mathcal{H}_\ell(\alpha) \xrightarrow{\Gamma\text{-cv}} G_c \int_\Gamma dS.$$

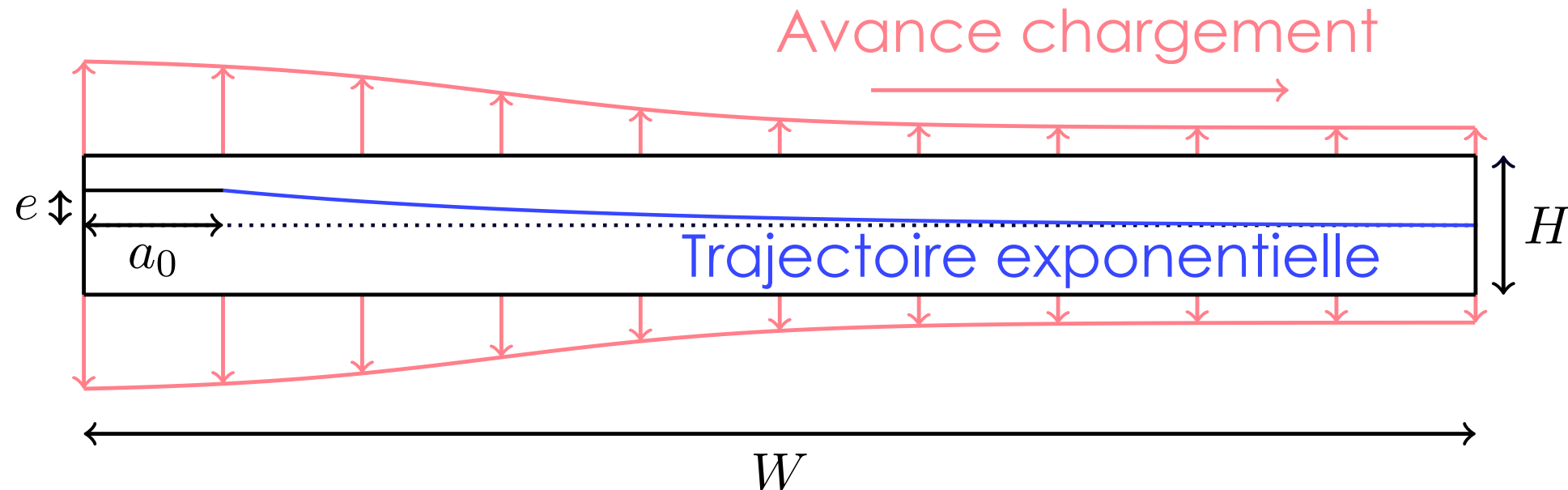
Si  $\alpha$  est dans un espace élément fini (Lagrange ordre 1), Negri ([2003](#)) a montré que

$$G_c \mathcal{H}_\ell(\alpha) \xrightarrow{\Gamma\text{-cv}} G_c \int_\Gamma \phi(\theta) dS.$$



# Pure shear avec fissure éccentréée

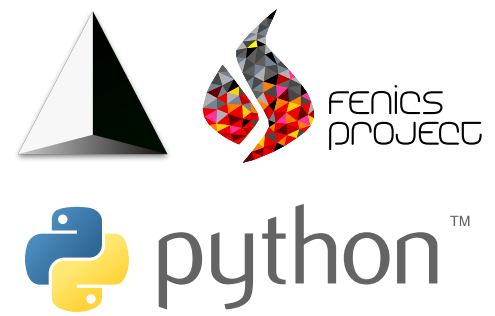
Proposé par H. Henry



Avec les paramètres  $H = 1$ ,  $W = 10H$ ,  $a_0 = H$ ,  $e = H/4$ .

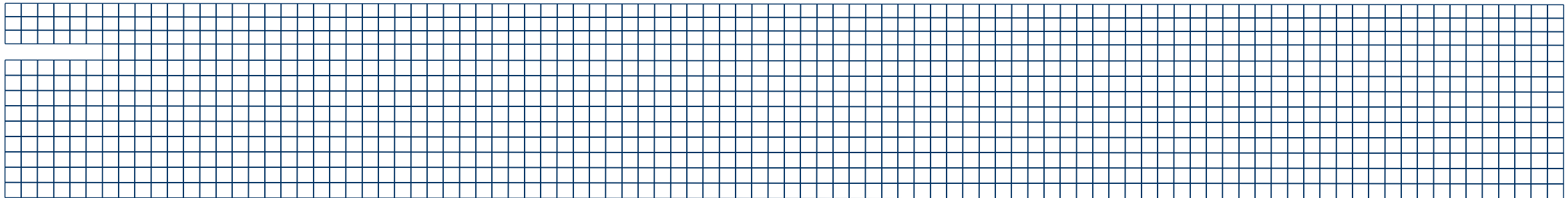
## Simulations éléments finis

1. Champ de phase avec maillages structuré/non structuré et 3 tailles  $\Delta x$ 
  - $\ell = H/16$
2. Propagation de fissure incrémental (MERR)

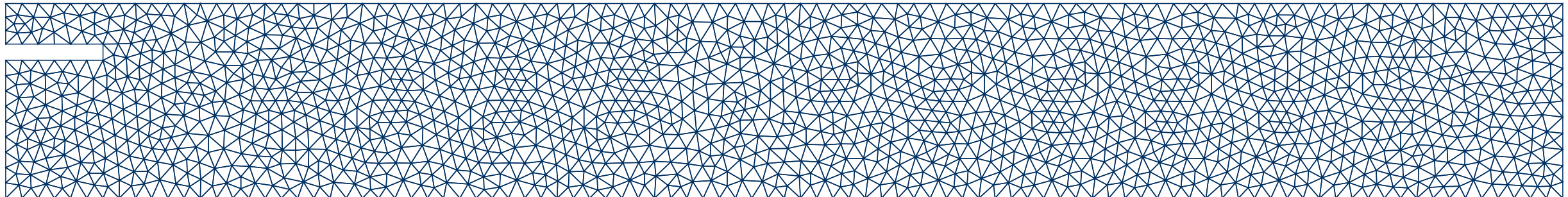


# Maillages

Maillage QUAD structuré

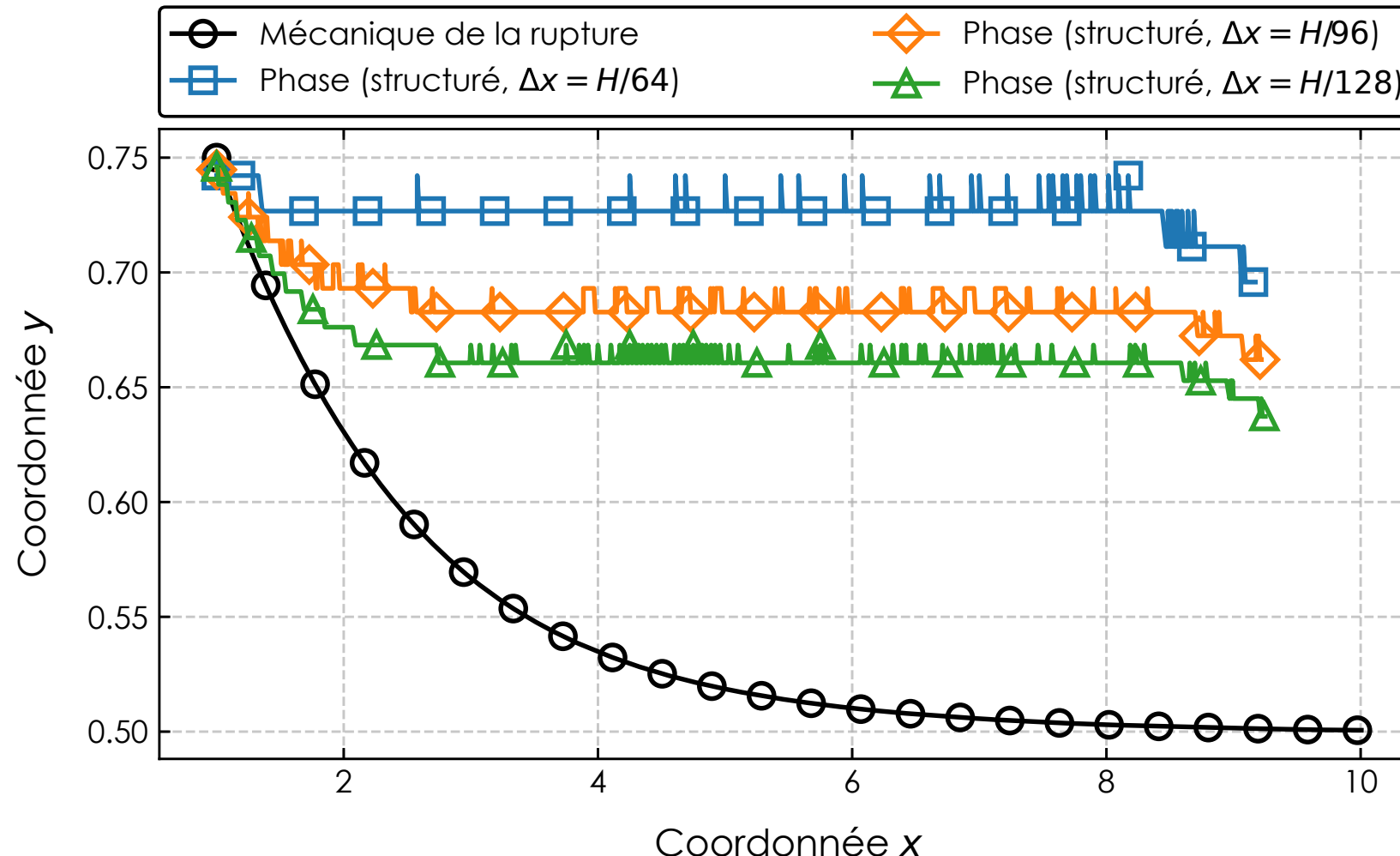


Maillage TRI non-structuré



Note: Par soucis de clarté, les maillages sont grossiers ( $\Delta x = H/12$ ).

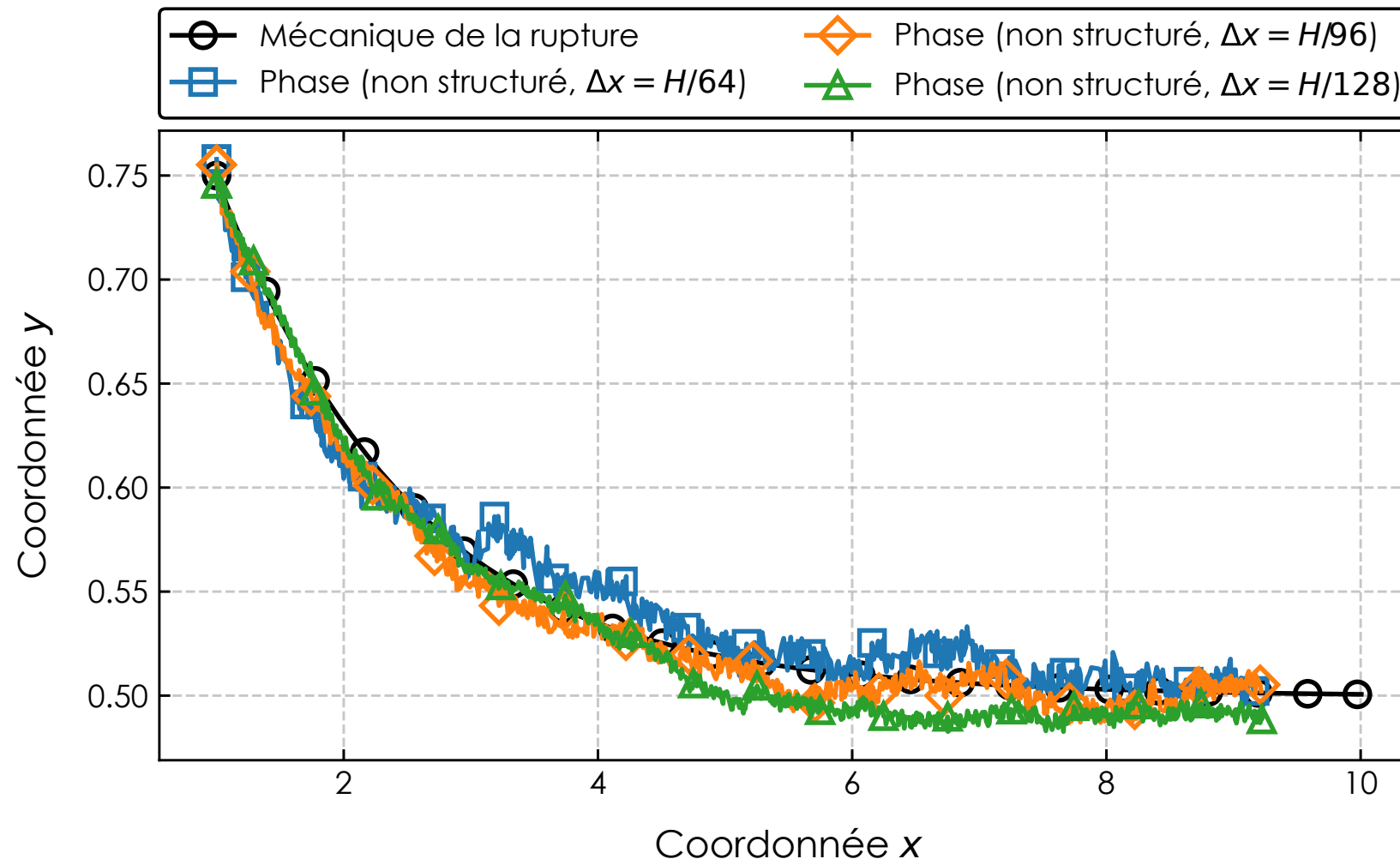
# Résultats: Maillage structuré



Observation

Biais numérique important,  
même pour des maillages  
relativement fin ( $\ell = \frac{\Delta x}{8}$ ).

# Résultats: Maillage non-structuré



## Observation

Biais numérique réduit,  
mais on observe un “bruit”  
qui décroît avec  $\Delta x$ .

# Conclusion : Influence du maillage

## Interprétation

- En pratique, chaque incrément de fissure est influencée par l'anisotropie locale induite par le maillage.
- L'ajout de désordre dans le maillage "homogénéise" cet effet.

## Recommendation

Privilégié un maillage non structuré pour les simulations de propagation de fissures.

Sinon, essayer d'utiliser un maillage quasi-isotrope ([Negri, 2003](#)).

## Pour aller plus loin

- Que se passe-t-il en différences finies ? Et en dynamique ?
  - Voir la présentation d'E. Zembra à 10:30. (Vous y étiez peut-être ! 😎)

# Merci pour votre attention !

F. Loiseau, E. Zembra, H. Henry & V. Lazarus.

[flavien.loiseau@ensta.fr](mailto:flavien.loiseau@ensta.fr)



Presentation

Ce travail est financé par l'Agence de l'Innovation de Défense – AID – via le Centre Interdisciplinaire d'Etudes pour la Défense et la Sécurité – CIEDS – (projects 2022 - FracAddi).

# Références

- Bourdin, B., Francfort, G. A., & Marigo, J.-J. (2000). Numerical experiments in revisited brittle fracture. *Journal of the Mechanics and Physics of Solids*, 48(4), 797–826. [https://doi.org/10.1016/S0022-5096\(99\)00028-9](https://doi.org/10.1016/S0022-5096(99)00028-9)
- Braides, A. (1998). *Approximation of Free-Discontinuity Problems* (Vol. 1694). Springer. <https://doi.org/10.1007/BFb0097344>
- Francfort, G. A., & Marigo, J.-J. (1998). Revisiting brittle fracture as an energy minimization problem. *Journal of the Mechanics and Physics of Solids*, 46(8), 1319–1342. [https://doi.org/10.1016/S0022-5096\(98\)00034-9](https://doi.org/10.1016/S0022-5096(98)00034-9)
- Giacomini, A. (2005). Ambrosio-Tortorelli approximation of quasi-static evolution of brittle fractures. *Calculus of Variations and Partial Differential Equations*, 22(2), 129–172. <https://doi.org/10.1007/s00526-004-0269-6>
- Loiseau, F., & Lazarus, V. (2025). How to introduce an initial crack in phase field simulations to accurately predict the linear elastic fracture propagation threshold? *Journal of Theoretical, Computational and Applied Mechanics*. <https://doi.org/10.46298/jtcam.15198>
- Negri, M. (2003). A finite element approximation of the Griffith's model in fracture mechanics. *Numerische Mathematik*, 95(4), 653–687. <https://doi.org/10.1007/s00211-003-0456-y>